

# Codes Scilab pour l'exemple de texte

## I. Modélisation : temps de descente d'une bille

**Première simulation** : temps de descente de la bille pour trois formes de toboggan, à l'aide d'une discrétisation Euler explicite sur l'EDO donnant l'abscisse de la bille.

```
clear()

function y=f1(x)
    y=sqrt(10*x)
endfunction

function y=f2(x)
    y=sqrt(20*sqrt(x))/sqrt(1+(1/(4*x)))
endfunction

function y=g(x)
    y=(x.^(3/2)).*(5-3*x)/2
endfunction

function y=h(x)
    y=((3/2)*(x.^(1/2)).*(5-3*x)-3*x^(3/2))/2
endfunction

function y=f3(x)
    y=sqrt(20*g(x))/(sqrt(1+h(x)^2))
endfunction

//dt = 0.01
//x = 0.001
//L=[x]
//for i=1:10
//    x=x+dt*f3(x)
//    L=[L,x]
//end
//
//X=0:0.1:1
//for i=1:10
//    plot(L(i), -sqrt(L(i)), 'o')
//
//end
```

```

//
//X=0:0.1:1
//x = 0.0001;
//t = 0;
//Tf = 10;
//
//while t < Tf & x<1
//    t = t+dt;
//    x=x+dt*f(x)
//    drawlater();
//    clf();
//    a = gca();
//    a.data_bounds = [0 -1;1 0];
//    plot(x, -x, 'o', X, -X);
//    drawnow();
//end
//
//
//
X=0:0.01:1
x = 0.0001;
y=0.0001;
z=0.0001;
t = 0;
Tf = 10;
dt=0.01;

//while t < Tf & x<1 & y<1
//    t = t+dt;
//    x=x+dt*f2(x)
//    y=y+dt*f1(y)
//    drawlater();
//    clf();
//    a = gca();
//    a.data_bounds = [0 -1;1.1 0];
//    subplot(2,1,1)
//    plot(y, -y, 'o', X, -X);
//    b=gca();
//    b.data_bounds = [0 -1;1.1 0];
//    subplot(2,1,2)
//    plot(x, -sqrt(x), 'o', X, -sqrt(X));
//    drawnow();
//end

while t < Tf & z<1 & x<1 & y<1
    drawlater();
    clf();
    a = gca();
    a.data_bounds = [0 -1;1 0];
    subplot(3,1,1)
    plot(y, -y, 'o', X, -X);
    xtitle('Descente du toboggan plan', '$x$', '$y$')
    subplot(3,1,2)
    plot(x, -sqrt(x), 'o', X, -sqrt(X));
    xtitle('Descente du toboggan raide', '$x$', '$y$')
    subplot(3,1,3)
    plot(z, -g(z), 'o', X, -g(X));
    xtitle('Descente du toboggan doux', '$x$', '$y$')

```

```

drawnow();
t = t+dt;
x=x+dt*f2(x)
y=y+dt*f1(y)
z=z+dt*f3(z)
end

```

## ***Deuxième simulation* : temps de descente de la bille pour le toboggan "doux", à l'aide d'une discrétisation Euler explicite sur l'EDO donnant l'abscisse de la bille.**

(Non montré lors de la présentation)

```

clear()

function y=g(x)
    y=(x.^(3/2)).*(5-3*x)/2
endfunction

function y=h(x)
    y=((3/2)*(x.^(1/2)).*(5-3*x)-3*x^(3/2))/2
endfunction

function y=f1(x)
    y=sqrt(20*g(x))/(sqrt(1+h(x)^2))
endfunction

X=0:0.01:1
x = 0.0001;
t = 0;
Tf = 10;
dt = 0.005 ;

while t < Tf & x<1
    drawlater();
    clf();
    a = gca();
    a.data_bounds = [0 -1;1 0];
    chaine=['Temps=',string(t)]
    xstring(0.7, -0.2, chaine)
    plot(x, -g(x), 'o', X, -g(X));
    xtitle('Descente du toboggan doux', 'x', 'y')
    drawnow();
    t = t+dt;
    x=x+dt*f1(x)
end

```

## ***Troisième simulation* : temps de descente de la bille pour le toboggan "plan", à l'aide d'une discrétisation Euler explicite sur l'EDO donnant l'abscisse de la bille.**

(Non montré lors de la présentation)

```
clear()

function y=f1(x)
    y=sqrt(10*x)
endfunction

X=0:0.1:1
x = 0.0001;
t = 0;
Tf = 10;
dt = 0.005 ;

while t < Tf & x<1
    drawlater();
    clf();
    a = gca();
    a.data_bounds = [0 -1;1 0];
    chaine=['Temps=',string(t)]
    xstring(0.7, -0.2, chaine)
    xtitle('Descente du toboggan plan', 'x', 'y')
    plot(x, -x, 'o', X, -X);
    drawnow();
    t = t+dt;
    x=x+dt*f1(x)
end
```

## ***Quatrième simulation* : temps de descente de la bille pour le toboggan "raide", à l'aide d'une discrétisation Euler explicite sur l'EDO donnant l'abscisse de la bille.**

(Non montré lors de la présentation)

```
clear()

function y=f1(x)
    y=sqrt(20*sqrt(x))/sqrt(1+(1/(4*x)))
endfunction

X=0:0.01:1
x = 0.0001;
```

```

t = 0;
Tf = 10;
dt = 0.005 ;

while t < Tf & x<1
    drawlater();
    clf();
    a = gca();
    a.data_bounds = [0 -1;1 0];
    chaine=['Temps=',string(t)]
    xstring(0.7,-0.2,chaine)
    xtitle('Descente du toboggan raide','x','y')
    plot(x,-sqrt(x),'o',X,-sqrt(X));
    drawnow();
    t = t+dt;
    x=x+dt*f1(x)
end

```

## II. Méthode classique d'approximation d'intégrale mise en défaut

***Cinquième simulation*** : Illustration de la dégénérescence de l'ordre de la méthode du point milieu lorsque les fonctions intégrées présentent une singularité en zéro.

```

clear()

//Point milieu

N = 5000 ;
dx = 1/N
x = [0:dx:1-dx] ;

function y=f1(x)
    y=(1+x.^2).*x.^(-3/4)
endfunction

function y=f2(x)
    y=x.^(-3/4)
endfunction

function y=f3(x)
    y=x.^(-5/6)
endfunction

//I = (1/N) * sum(f(x+(dx/2))) ;

```

```

L1=[]
L2=[]
L3=[]
nmin = 100 ;
nmax = 1000 ;

for N=nmin:nmax
    dx = 1/N
    x= [0:dx:1-dx]
    I1 = (1/N) * sum(f1(x+(dx/2)))
    I2 = (1/N) * sum(f2(x+(dx/2)))
    I3 = (1/N) * sum(f3(x+(dx/2)))
    L1=[L1,I1]
    L2=[L2,I2]
    L3=[L3,I3]
end

plot(log(nmin:1:nmax) , log(abs(4-L2)))
xtitle('Estimation erreur point milieu avec singularité pour f(x)=x.^(-3/4)',
'$\log(N)$', '$\log(I-I_N)$')
[a2,b,r]=reglin(log(nmin:1:nmax) , log(abs(4-L2))) ;
chaine2=['Pente=', string(a2)] ;
xstring(6,-0.3, chaine2)

xclick()
close

plot(log(nmin:1:nmax) , log(abs((40/9)-L1)))
xtitle('Estimation erreur point milieu avec singularité pour f(x)=(1+x.^2).*x.^(-
3/4)', '$\log(N)$', '$\log(I-I_N)$')
[a1,b,r]=reglin(log(nmin:1:nmax) , log(abs(40/9-L1))) ;
chaine1=['Pente=', string(a1)] ;
xstring(6,-0.3, chaine1)

xclick()
close

plot(log(nmin:1:nmax) , log(abs(6-L3)))
xtitle('Estimation erreur point milieu avec singularité pour f(x)=x^-5/6', '$\log
(N)$', '$\log(I-I_N)$')
[a3,b,r]=reglin(log(nmin:1:nmax) , log(abs(6-L3))) ;
chaine3=['Pente=', string(a3)] ;
xstring(6,0.65, chaine3)

function y=f4(x)
    y=sqrt(10*x).^(-1)
endfunction

function y=f5(x)
    y=((sqrt(1+(4*x).^(-1)))).*sqrt(20*sqrt(x)).^(-1)
endfunction

function y=g(x)
    y=1/2.*(x.^(3/2)).*(5-3*x)
endfunction

```

```

function y=h(x)
    y=((3/2)*(x.^(1/2)).*(5-3*x)-3*x.^(3/2))/2
endfunction

function y=f6(x)
    y=(sqrt(1+h(x).^2)).*((sqrt(20*g(x))))).^(-1)
endfunction

N1= 1000
dx1 = 1/N1
x1= [0:dx1:1-dx1]

I4 = (1/N1) * sum(f4(x1+(dx1/2)))
I5 = (1/N1) * sum(f5(x1+(dx1/2)))
I6 = (1/N1) * sum(f6(x1+(dx1/2)))

disp(N1,'Pour un nombre de points N=')
disp(I4,'Methode point milieu : Temps de descente pour le toboggan doux')
disp(I5,'Methode point milieu : Temps de descente pour le toboggan raide')
disp(I6,'Methode point milieu : Temps de descente pour le toboggan doux')

```

***Sixième simulation* : Illustration de la dégénérescence de l'ordre de la méthode de rectangle à droite lorsque les fonctions intégrées présentent une singularité en zéro.**

```

clear()

//Rectangle à droite
function y=f(x)
    y=x.^(-3/4)
endfunction

L=[]
n = 1000 ;
for N=100:n
    dx = 1/N
    x= [0:dx:1-dx]
    I = (1/N) * sum(f(x+dx))
    L=[L,I]
end

plot(log(100:1:n) , log(abs(4-L))) ;
xtitle('Estimation erreur rectangle à droite avec singularité pour f(x)=x^-3/4',
'$\log(N)$', '$\log(I-I_N)$')
[a,b,r]=reglin(log(100:1:n) , log(abs(4-L))) ;
chaine=['Pente=', string(a)] ;
xstring(6,0, chaine)

function y=f4(x)
    y=sqrt(10*x).^(-1)

```

```

endfunction

function y=f5(x)
    y=((sqrt(1+(4*x).^(-1)))).*sqrt(20*sqrt(x)).^(-1)
endfunction

function y=g(x)
    y=1/2.*(x.^(3/2)).*(5-3*x)
endfunction

function y=h(x)
    y=((3/2)*(x.^(1/2)).*(5-3*x)-3*x.^(3/2))/2
endfunction

function y=f6(x)
    y=(sqrt(1+h(x).^2)).*((sqrt(20*g(x))))).^(-1)
endfunction

N1= 1000
dx1 = 1/N1
x1= [0:dx1:1-dx1]

I4 = (1/N1) * sum(f4(x1+dx1))
I5 = (1/N1) * sum(f5(x1+dx1))
I6 = (1/N1) * sum(f6(x1+dx1))

disp(N1,'Pour un nombre de points N=')
disp(I4,'Methode rectangle à droite : Temps de descente pour le toboggan doux')
disp(I5,'Methode rectangle à droite : Temps de descente pour le toboggan raide')
disp(I6,'Methode rectangle à droite : Temps de descente pour le toboggan doux')

```

### III. Une méthode hybride pour prendre en compte la singularité en zéro de la fonction intégrée

**Septième simulation : Illustration de la convergence de la méthode hybride (phénomène de saturation, balance de la compétition)**

```

clear()

//Methode hybride

function y=f(x)
    y=(1+x.^2).*x.^(-3/4)
endfunction

//I = (h^(1-b)/(1-b)) * f(h*u)*(h*u)^b + ((1-h)/N)* sum(f(h+(x+dx/2)*(1-h)))

```



```

//
//
h = 10^(-1) ;
b = 3/4
u = (1-b)/(2-b)

L=[]
nmin = 100 ;
nmax = 1000 ;
for N=nmin:nmax
    dx = 1/N
    x= [0:dx:1-dx]
    I = (h^(1-b)/(1-b)) * f(h*u)*(h*u)^b + ((1-h)/N)* sum(f(h+(x+dx/2)*(1-h)))
    L=[L,I]
end

plot(log(nmin:1:nmax) , log(abs(40/9-L))) ;
xlabel('Estimation erreur methode hybride avec singularité pour h=10^-1', '$\log(N)$', '$\log(I-I_N)$')
//
//[a,b,r]=reglin(log(nmin:1:nmax) , log(abs(4-L))) ;
//chaine=['Pente=', string(a)] ;
//xstring(5.8,-0.4, chaine)
//
//h = 10^(-3) ;
//b = 3/4
//u = (1-b)/(2-b)
//
h2=10^(-3)
L1=[]
for N=nmin:nmax
    dx = 1/N
    x= [0:dx:1-dx]
    I = (h2^(1-b)/(1-b)) * f(h2*u)*(h2*u)^b + ((1-h2)/N)* sum(f(h2+(x+dx/2)*(1-h2)))
    L1=[L1,I]
end

xclick()
close()

plot(log(nmin:1:nmax) , log(abs(40/9-L1))) ;
xlabel('Estimation erreur methode hybride avec singularité pour h=10^-3', '$\log(N)$', '$\log(I-I_N)$')
xclick()
plot(log(nmin:1:nmax), -2*(log(nmin:1:nmax)-log(nmin))+log(abs(40/9-L1(1))), 'g')
;

L2=[]
for N=nmin:nmax
    h3=1/sqrt(N)
    dx = 1/N
    x= [0:dx:1-dx]
    I = (h3^(1-b)/(1-b)) * f(h3*u)*(h3*u)^b + ((1-h3)/N)* sum(f(h3+(x+dx/2)*(1-h3)))
    L2=[L2,I]

```

```

end

xclick()
close

plot(log(nmin:1:nmax) , log(abs(40/9-L2))) ;
xtitle('Estimation erreur methode hybride avec singularité pour h=1/sqrt(N)',
'$\log(N)$', '$\log(I-I_N)$')
[a,b,r]=reglin(log(nmin:1:nmax) , log(abs(40/9-L2))) ;
chaine=['Pente=', string(a)] ;
xstring(5.8,-7, chaine)

function y=f1(x)
    y=sqrt(10*x).^(-1)
endfunction

b1 = 1/2
u1 = (1-b1)/(2-b1)

N=1000
h3=1/sqrt(N)
dx = 1/N
x= [0:dx:1-dx]
I = ((h3^(1-b1))/(1-b1)) * f1(h3*u1)*(h3*u1)^b1 + ((1-h3)/N)* sum(f1(h3+(x+dx/2)*
(1-h3)))

disp(N,'pour un nombre de points N=',)
disp(I,'Methode hybride : Temps de descente pour le toboggan plan')

function y=f2(x)
    y=((sqrt(1+(4*x).^(-1)))).*sqrt(20*sqrt(x)).^(-1)
endfunction

b1 = 3/4
u1 = (1-b1)/(2-b1)

N=100
h3=1/sqrt(N)
dx = 1/N
x= [0:dx:1-dx]
I = ((h3^(1-b1))/(1-b1)) * f2(h3*u1)*(h3*u1)^b1 + ((1-h3)/N)* sum(f2(h3+(x+dx/2)*
(1-h3)))

disp(I,'Methode hybride : Temps de descente pour le toboggan raide')

function y=g(x)
    y=1/2.*(x.^(3/2)).*(5-3*x)
endfunction

```

```

function y=h(x)
    y=((3/2)*(x.^(1/2)).*(5-3*x)-3*x.^(3/2))/2
endfunction

function y=f3(x)
    y=(sqrt(1+h(x).^2)).*((sqrt(20*g(x)))).^(-1)
endfunction

b1 = 3/4
u1 = (1-b1)/(2-b1)

N=1000
h3=1/sqrt(N)
dx = 1/N
x= [0:dx:1-dx]
I = ((h3^(1-b1))/(1-b1)) * f3(h3*u1)*(h3*u1)^b1 + ((1-h3)/N)* sum(f3(h3+(x+dx/2)*
(1-h3)))

disp(I,'Methode hybride : Temps de descente pour le toboggan doux')

```

I - Modélisation: descente  
du toboggan

II - Méthode classique (échec)

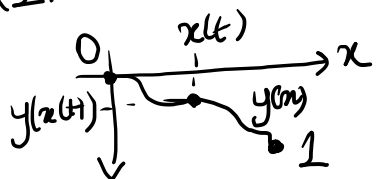
III - Méthode hybride

# I - Modélisation

## 1. Présentation

But: trouver la forme du toboggan tq tps de descente min.

Inconnue: jet  $y: [0,1] \rightarrow \mathbb{R}$   
tq  $y(0)=0$  et  $y(1)=1$



Hyp (descente)

1) bille = pt matériel  
 $\vec{u}(t) = (x(t), y(x(t)))$ , à l'instant  $t$

2) bille de masse  $m$

3) bille part de  $(0,0)$  sans vitesse initiale

4) la bille ne subit pas de frottements.

## 2 - Expression théorique du tps de descente

Def:  $T(y) / \vec{u}(T(y)) = (2, 1)$

But: Comprendre  $T$  % à  $y$

Nouveau-but: Expression de  $T$  % à  $y$

$$T(y) = \int_0^{T(y)} dt$$
$$= \int_0^1 \frac{dz}{x'(x^{-1}(z))}$$

pb:  $x' \leftrightarrow y$

chgt de variables

$$z = x(t)$$

et si  $x \in C^1$  - dérivable  
(par ex,  $x' \neq 0$ )

$$t=0 : z = x(0) = 0$$

$$t=T(y) : z = x(T(y)) = 1$$

$$dz = x'(t) dt$$

Apparté: trouver  $x'$

Conservat° de l'e.m.:

$$E_{\text{méca}}(t) \stackrel{(*)}{=} E_{\text{cin}}(t) + E_{\text{pot}}(t) = E_{\text{méca}}(0)$$


$$\triangleright E_{\text{cin}}(t) = \frac{1}{2} \times m \times \left\| \frac{d\vec{u}}{dt} \right\|^2$$

$\frac{1}{2} \times m \times \text{vitesse}$

$$\vec{u} = \begin{pmatrix} x(t) \\ y'(x(t)) \end{pmatrix}$$

$$\triangleright E_{\text{pot}}(t) = m \times g \times y(x(t))$$

$m \times m \times g \times \text{hauteur}$

$$\triangleright E_{\text{méca}}(0) = 0$$


$$(*) \Rightarrow x'(t) = \frac{\sqrt{2gy(x(t))}}{\sqrt{1 + y'(x(t))}}$$

Conclusion:

1) si  $y$  ne s'annule qu'en 0,  
 $x' \neq 0$ ,  $x \in C^1$ -difféo  $[0, T(y)] \rightarrow [0, 1]$

2) Finalement,

$$T(y) = \int_0^1 \frac{\sqrt{1 + y'(z)^2}}{\sqrt{2gy(z)}} dz$$

$$T : C^1 \rightarrow$$

$$E_{\text{pot}}(t) = -\alpha l(x(t))$$

$$l'(x(t)) = \sqrt{1 + y'(x(t))}$$

## II - Méthode classique (point milieu)

### Méthode:

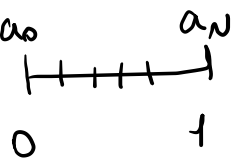
- Quadrature élémentaire:

$$\int_a^b f(t) dt \approx (b-a) f\left(\frac{a+b}{2}\right)$$

- Quadrature composée:

$$\int_0^1 f(x) dx = \sum_{i=0}^{N-1} \int_{a_i}^{a_{i+1}} f(x) dx$$

$$\approx \sum_{i=0}^{N-1} (a_{i+1} - a_i) f\left(\frac{a_i + a_{i+1}}{2}\right)$$



Théorème: Pour des fcts régulières (par ex  $f \in C^2$ ), la méthode est d'ordre 2.

Théorème: Pour une fct  $f(x) = x^{-\beta} + g(x)$  ( $g \in C^2$ ) ( $0 < \beta < 1$ ), la méthode est d'ordre  $1 - \beta$ .

preuve:

$$a_i = \frac{i}{N} = ih$$

$$|I - I_N| \leq \underbrace{\left| \int_0^1 f(x) dx - \frac{1}{N} f\left(\frac{1}{2N}\right) \right|}_{=E_1} + \underbrace{\left| \int_{1/N}^1 f(x) dx - \frac{1}{N} \sum_{i=1}^{N-1} f\left(\frac{2i+1}{2N}\right) \right|}_{=E_2}$$

► Estimat°  $E_1$

$$E_1 = \mathcal{O}(h^{1-\beta})$$

► Estimat°  $E_2$

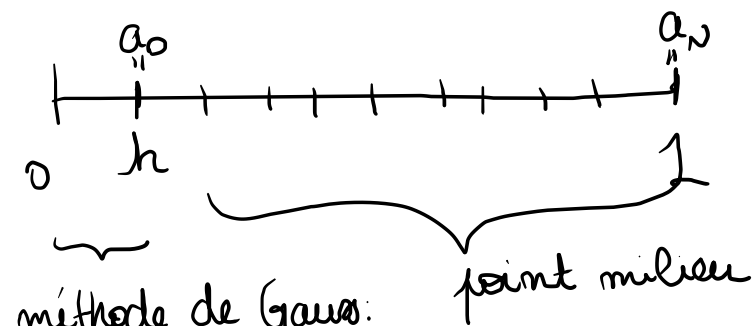
$$E_2 \leq \frac{h^3}{24} \sum_{i=0}^{N-1} \underbrace{\|f''\|}_{a_i^{-\beta-2}} [a_i, a_{i+1}] + \|g''\| [0, 1]$$

$$\leq \frac{h^2}{24} \|g''\| + \frac{h^3}{24} h^{-\beta-2} \sum_{i=0}^{N-1} i^{-\beta-2}$$

$$= \mathcal{O}(h^{-\beta-2})$$

## III - Méthode hybride

Idee:



méthode de Gauss:  
peids absorbé la  
singularité

$$\star \int_0^h f(x) dx \approx \lambda_0 f(x_0)$$

• où  $x_0$  racine de  $\pi_1$ , 2<sup>ième</sup> poly  $\perp$   
pour le poids  $x^{-\beta}$

$$P_1 = x - hu \quad , \quad u = \frac{1-\beta}{2-\beta}$$

$$\bullet \lambda_0 = \int_0^h \underbrace{L_0(x)}_{=1} x^{-\beta} dx = \frac{h^{1-\beta}}{1-\beta}$$

$$\star \int_0^1 f(x) dx \approx \sum_{i=0}^{n-1} (a_{i+1} - a_i) f\left(\frac{a_i + a_{i+1}}{2}\right)$$
$$a_i = h + \frac{i}{n}(1-h)$$

Théorème: Si  $f(x) = x^{-\beta}$ ,  $x \in [0, 1]$ .

Alors  $\exists C_1, C_2 > 0$ ,

$$\left| \int_0^1 f(x) dx - I_{n,N} \right| \leq \underbrace{C_1 h^{-\beta+3}}_{\text{compitition}} + \underbrace{C_2 \frac{h^{-\beta-1}}{N^2}}_{\text{compitition}}$$

compitition  
min:  $h = \frac{1}{\sqrt{N}}$

preuve:

o p



$$|E| \leq C_1 h^{-\beta+3} + C_2 \frac{h^{-\beta-1}}{N^2}$$

• Près de zéro :

$$\left| \int_0^h f(x) dx - \frac{h^{1-\beta}}{1-\beta} g(hu) \right| \leq \int_0^h (x-hu)^2 x^{-\beta} dx$$

$$\left( \int_0^1 (x-hu)^2 x^{-\beta} dx \right) \leq h^{-\beta+3}$$

• En dehors de 0 :

$$\left| \int_h^1 f(x) dx - \frac{1-h}{N} \sum_{i=0}^{N-1} f\left(\frac{a_i+a_{i+1}}{2}\right) \right| \star$$

$$\leq \sum \underbrace{\|f''\|_{[a_i, a_{i+1}]}}_{a_i^{-\beta-2}} \frac{(1-h)^3}{N^3}$$

$$\leq \frac{C}{N^2} \times \frac{1-h}{N} \sum_{i=0}^{N-1} \underbrace{\left(h + (1-h)\frac{i}{N}\right)^{-\beta-2}}$$

On (comparaison série / intégrale)

$$\frac{1-h}{N} \sum_{i=0}^{N-1} \left(h + (1-h)\frac{i}{N}\right)^{-\beta-2} \leq C \int_h^1 x^{-\beta-2} dx$$

$$\leq C h^{-\beta-1}$$

$$\star \leq C \frac{h^{-\beta-1}}{N^2}$$

□

~~Il existe une~~

$$\int_0^1 f(x) \omega(x) dx \approx \sum_{i=0}^{N-1} \lambda_i f(x_i)$$

Il existe une unique méthode à  $l+1$  points  
de degré  $2l+1$ .

$x_i =$  racine de  $\pi_{l+1}$

$$\lambda_i = \int_0^1 L_i(x) \omega(x) dx .$$